.临床研究.

# 复合环泊酚麻醉诱导时舒芬太尼抑制老年患者气管插管心血管反应的半数有效效应室浓度

梅凤美 赵金兵 金晶星 陆军 曾琼

【摘要】 目的 探讨并比较复合丙泊酚或环泊酚诱导时舒芬太尼抑制老年患者气管插管心血 管反应的半数有效效应室浓度(Ce<sub>50</sub>)。方法 选择择期行气管插管全麻颅内外血运重建术的老年 患者 66 例, 男 32 例, 女 34 例, 年龄≥65 岁, BMI 20~30 kg/m²。将患者随机分为两组; 丙泊酚组(P 组)和环泊酚组(C组),每组33例。两组首例患者靶控输注舒芬太尼0.30 ng/ml,达到效应室浓度 后根据分组分别缓慢静脉注射丙泊酚 1.5 mg/kg 或环泊酚 0.30 mg/kg,待患者意识消失且 BIS≤60, 给予罗库溴铵 0.60 mg/kg, 肌松完全 TOF 为 0 后行气管插管。气管插管心血管阳性反应为气管插管 后 2 min 内 HR 或 SBP 升高幅度超过基础值的 20%。舒芬太尼的靶浓度由序贯法确定,相邻浓度梯 度比为1:1.2。根据气管插管反应,上调或下降一个浓度梯度,直至第7个阳性反应-阴性反应交叉 点时结束试验。记录麻醉诱导前 $(T_0)$ 、气管插管前 $(T_1)$ 、气管插管后  $1 \min(T_2)$ 、气管插管后  $3 \min$ (T<sub>3</sub>)和气管插管后 5 min(T<sub>4</sub>)的 HR、SBP、DBP 和 BIS。采用 Dixon-Mood 半数有效量序贯法计算公 式计算 Cesn及其 95%可信区间(CI)。结果 与 P 组比较, C 组 T, 时 SBP 明显升高; T, 一T, 时 BIS 明 显降低(P<0.05)。P 组和 C 组舒芬太尼抑制气管插管心血管反应的 Ce<sub>50</sub>分别为 0.253 ng/ml(95%CI 0.215~0.297 ng/ml)和 0.241 ng/ml(95% CI 0.209~0.279 ng/ml),两组 Ce<sub>sn</sub>差异无统计学意义。 结论 麻醉诱导复合丙泊酚 1.5 mg/kg 时舒芬太尼抑制老年患者气管插管心血管反应的 Ce50为 0. 253 ng/ml(95%CI 0. 215~0. 297 ng/ml),复合环泊酚 0. 30 mg/kg 时舒芬太尼抑制老年患者气管插 管心血管反应的 Ce<sub>50</sub>为 0. 241 ng/ml (95%CI 0. 209~0. 279 ng/ml)。

【关键词】 半数有效浓度;舒芬太尼;环泊酚;气管插管;老年

Median effect-site concentration of sufentanil combined with ciprofol blunting cardiovascular responses to tracheal intubation in elderly patients MEI Fengmei, ZHAO Jinbing, JIN Jingxing, LU Jun, ZENG Qiong. Department of Anesthesiology, Brain Hospital Affiliated to Nanjing Medical University, Nanjing 210029, China

Corresponding author: ZENG Qiong, Email: zengqiongnju@163.com

[Abstract] Objective To investigate and compare the median effect-site concentration (Ce<sub>50</sub>) of sufentanil combined with propofol or ciprofol blunting cardiovascular responses to tracheal intubation in elderly patients. Methods Sixty-six elderly patients were selected for extracranial-intracranial cerebral revascularization for general anesthesia with tracheal intubation, 32 males and 34 females, aged ≥ 65 years, BMI 20-30 kg/m<sup>2</sup>. Patients were randomly divided into two groups: 1.5 mg/kg propofol group (group P) and 0.3 mg/kg ciprofol group (group C), 33 patients in each group. Sufentanil was target controlled infused with the initial dose of 0.30 μg/kg, then propofol 1.5 mg/kg or ciprofol 0.30 mg/kg injected slowly after reaching the effect-site concentration. After the lose of consciousness and BIS score less than or equal to sixty, rocuronium 0.60 mg/kg was administrated, and underwent endotracheal intubation after the TOF value monitored by muscle relaxation drops to zero. Dixon's up and down sequential method was used to determined the target concentration of sufentanil. A positive response was defined as a 20% increase in HR or SBP exceeding the baseline within 2 minutes after tracheal intubation, otherwise, it was considered a negative response. According to the Dixon's sequential method, the ratio of adjacent dosed was 1.2 and if the patient had a positive response, the dose of next patient was moved up one gradient, otherwise, the dose would be reduced. The trail was terminated when the seventh crossover point was observed. When a positive response turned to a negative response, it was called a crossover point. HR, SBP, DBP and BIS were recorded before induction of anesthesia (  $T_0$  ), before tracheal intubation (  $T_1$  ), 1 minutes after tracheal intubation (  $T_2$  ), 3 minutes after tracheal intubation (  $T_3$  ) and 5 minutes after tracheal intubation (  $T_4$  ). Dixon–Mood's half effective quantity sequential calculation formula was used to calculate the Ce<sub>50</sub> and 95% confidence interval (CI). **Results** Compared with group P, SBP was significantly increased at  $T_1$ , BIS was significantly decreased at  $T_2$ – $T_4$  in group C ( P < 0.05). The Ce<sub>50</sub> and 95% CI of sufentanil inhibiting cardiovascular response to tracheal intubation were 0. 253 ng/ml (95% CI 0. 215–0. 297 ng/ml) in group P and 0. 241 ng/ml (95% CI 0. 209–0. 279 ng/ml) in group C. There was no significant difference in Ce<sub>50</sub> between the two groups. **Conclusion** When combined with propofol 1.5 mg/kg during anesthesia induction, the Ce<sub>50</sub> of sufentanil inhibiting cardiovascular response to tracheal intubation in elderly patients was 0. 253 ng/ml (95% CI 0. 215–0. 297 ng/ml). While combined with cirprofol 0. 30 mg/kg, Ce<sub>50</sub> of sufentanil was 0. 241 ng/ml (95% CI 0. 209–0. 279 ng/ml).

[Key words] Median effect-site concentration; Sufentanil; Ciprofol; Tracheal intubation; Aged

近年施行神经外科手术的老年患者趋多,围术 期麻醉管理目标是维持大脑氧供需平衡,避免颅内 压骤然增高和脑灌注压剧烈下降。老年患者大多 数对麻醉的耐受力下降,需要优化麻醉诱导方案, 维持诱导后血流动力学的稳定性,并抑制气管插管 引起的应激反应。舒芬太尼镇痛作用强,能有效抑 制气管插管所致的心血管反应[1],且循环稳定,安 全國宽[2],可安全应用于老年患者的麻醉诱导 中[3]。临床上常用丙泊酚联合阿片类药物进行麻 醉诱导,环泊酚是新型镇静药,起效快、效价强、循 环稳定、气管插管反应和注射痛少[4]。环泊酚复合 舒芬太尼应用于麻醉诱导安全、有效且耐受性良 好,已用于老年患者的麻醉中[5-6]。本研究比较复 合丙泊酚或环泊酚时舒芬太尼应用于老年患者麻 醉诱导时抑制气管插管心血管反应的半数有效效 应室浓度(median effect-site concentration, Ce<sub>50</sub>)。

## 资料与方法

一般资料 本研究经医院伦理委员会审批 (2022-KY121-01),患者或家属签署知情同意书。选择择期全麻下行颅内外血运重建术的老年患者,性别不限,年龄≥65岁,BMI 20~30 kg/m²。排除标准:术前 SBP≥160 mmHg,DBP≥110 mmHg,HR≥110次/分,困难气道,对研究药物过敏,严重心肺疾病,无法有效沟通者。剔除标准:一次插管不成功或气管插管时间超过 30 s。将患者随机分为两组:丙泊酚组(P组)和环泊酚组(C组)。

麻醉方法 患者术前常规禁食 8 h,禁水 6 h。 入室后予面罩吸氧;常规监测 ECG、血压和 SpO<sub>2</sub>;使 用脑电双频指数监护仪监测 BIS 值;选择拇内收肌 连接肌松监测仪进行肌松监测。开放静脉通路,麻 醉诱导前输注复方电解质注射液 5 ml/kg;局麻下行 桡动脉穿刺实时监测动态血压。选择合适型号的 气管导管,并在气管导管前端均匀涂抹润滑凝胶。 参考成年患者的浓度[7],本研究纳入的是老年患者 结合预试验设定两组舒芬太尼初始目标靶控效应 室浓度为 0.30 ng/ml。麻醉诱导时先靶控输注舒芬 太尼,待达到预设靶浓度后缓慢匀速静注(至少 30 s) 丙泊酚 1.5 mg/kg(P组) 或环泊酚 0.30 mg/kg (C组),患者意识消失且 BIS≤60 后,给予罗库溴铵 0.60 mg/kg,至肌松监测 TOF 为 0 时行可视喉镜下 气管插管,插管成功后机械通气。整个麻醉诱导过 程中密切观察患者反应并根据需要及时行人工辅 助吸氧。按序贯法原则确定下一例的浓度: 若上一 例患者气管插管反应呈阳性,则提高1个浓度梯度, 否则降低1个浓度梯度,各相邻浓度之间的梯度比 为1:1.2[8]。首次出现阳性反应和阴性反应交叉点 作为试验起始点,当出现第7个交叉点,终止试验。 气管插管心血管反应的阳性标准为气管插管后 2 min 内 HR 或 SBP 升高幅度超过基础值 20%。如气 管插管反应阳性,静注丙泊酚、环泊酚或舒芬太尼 补救。

观察指标 记录麻醉诱导前 $(T_0)$ 、气管插管前  $(T_1)$ 、气管插管后  $1 \min(T_2)$ 、气管插管后  $3 \min(T_3)$ 和  $5 \min(T_4)$ 的 HR、SBP、DBP 和 BIS。记录诱导期不良反应如低血压、心动过缓、低氧血症、注射痛等的发生情况。采用 Dixon-Mood 半数有效量序贯法 计算 公式 计算  $Ce_{50}$  及其 95% 可信区间  $(confidence\ interval,\ CI)$ 。

统计分析 采用 SPSS 22.0 进行统计学分析,应用 Grahpad Prism 8 作图。正态分布计量资料以均数±标准差( $\bar{x}\pm s$ )表示,组间比较采用独立样本 t检验,组内比较采用重复测量方差分析。计数资料以例(%)表示,组间比较采用 $\chi^2$ 检验或 Fisher 检验。根据 Dixon-Mood<sup>[8]</sup>法计算公式计算舒芬太尼的 Ce<sub>50</sub>及其 95%CI,两组间 Ce<sub>50</sub>的比较采用 Mann-Whitney U检验。P<0.05 为差异有统计学意义。

# 结 果

本研究 P 组入选 35 例,在诱导过程中发生低血压 1 例,心动过缓 1 例,经处理后剔除。第 2 例患者开始有阳性反应,取第 1 例患者开始入组,至第 33 例时出现第 7 个交叉点,共 33 例患者纳入分析。C 组入选 35 例,在诱导过程中发生低血压 1 例,经处理后剔除出本研究。第 3 例患者开始出现阳性反应,取第 2 例患者入组,在第 34 例患者时出现第 7 个交叉点试验结束,最终纳入患者 33 例进行序贯分析。两组患者性别、年龄、体重、BMI、ASA 分级差异无统计学意义(表 1)。

与  $T_0$  时比较,  $T_2$  时两组 HR 明显增快(P < 0.05);  $T_1$  时 P 组 SBP 和 DBP 明显降低、 $T_2$  时明显升高,  $T_1$  时 C 组 SBP 明显降低、 $T_2$  时明显升高,  $T_1$  时 DBP 明显下降(P < 0.05);  $T_1 — T_4$  时两组 BIS 明显降低(P < 0.05)。与 P 组比较,  $T_1$  时 C 组 SBP 明显升高;  $T_2 — T_4$  时 BIS 明显降低(P < 0.05)。麻醉诱导后两组均未发生心动过缓、低氧血症等不良反应。

采用 Dixon-Mood 法计算 Ce<sub>50</sub> 及其 95% CI。P

组舒芬太尼抑制气管插管心血管反应的  $Ce_{50}$  为 0. 253 ng/ml (95% CI 0. 215~0. 297 ng/ml); C 组的  $Ce_{50}$  为 0. 241 ng/ml (95% CI 0. 209~0. 279 ng/ml) (图 1—2)。两组  $Ce_{50}$  差异无统计学意义。

### 讨 论

气管插管时交感神经兴奋,使心肌耗氧剧增, 老年患者心脏储备功能和代偿能力下降,严重的心 血管反应可致不良事件的发生。麻醉诱导时阿片 类药物与镇静药联合应用,可有效抑制气管插管的 心血管反应。单次静脉注射药物导致瞬时血药浓 度过高,靶控输注更可控,使麻醉诱导更精确、平 稳<sup>[9]</sup>。舒芬太尼靶控输注能提供稳定的镇痛水平 且心血管功能稳定<sup>[10]</sup>,对老年患者麻醉诱导应激反 应的抑制作用强<sup>[11]</sup>。老年患者应选择对循环影响 较小的镇静药物,环泊酚在老年患者麻醉诱导中能 有效镇静,低血压发生率较低,对呼吸循环抑制更 小<sup>[12]</sup>。如给予丙泊酚应该分次、小量、缓慢静脉注 射或分级靶控输注<sup>[13]</sup>。本研究环泊酚采用说明书 推荐的缓慢静脉注射,丙泊酚亦采用缓慢静脉注射

WI WITH UX HANDING									
组别	例数	男/女 (例)	年龄 (岁)	体重 (kg)	BMI (kg/m²)	ASA Ⅱ/Ⅲ级 (例)			
P组	33	15/18	69. 5±5. 0	65. 8±9. 7	24. 4±2. 9	27/6			
C组	33	17/16	70. 3±4. 5	67. 3±7. 8	25. 2±2. 8	28/5			

表 1 两组患者一般情况的比较

表 2	两组患者不同时点	HR,SBP,DBP	和 BIS 的比较(x±s)
-----	----------	------------	----------------

指标	组别	例数	$T_0$	$T_1$	$T_2$	$T_3$	$T_4$
HR	P组	33	75. 0±10. 8	73. 2±10. 1	93. 1±16. 0 <sup>a</sup>	80. 3±8. 6	72. 8±6. 2
(次/分)	C 组	33	74. 2±11. 3	72. 6±10. 5	89. 3±13. 0 <sup>a</sup>	81. 9±9. 7	74. 6±9. 2
SBP	P组	33	142. 3±14. 8	121. 3±16. 7 <sup>a</sup>	159. 8±13. 8 <sup>a</sup>	145. 4±8. 2	133. 4±8. 4
(mmHg)	C 组	33	140. 1±11. 0	131. 0±9. 5 <sup>ab</sup>	157. 6±14. 9ª	147. 0±8. 3	136. 6±7. 8
DBP	P组	33	83. $0 \pm 10.0$	70. 9±9. 6 <sup>a</sup>	90. 9±11. 4 <sup>a</sup>	84.6±7.4	79. 5±6. 1
(mmHg)	C 组	33	82.6±9.9	72. 0±10. 0 <sup>a</sup>	86. 9±14. 8	82. 5±11. 7	77. 6±9. 1
BIS	P组	33	93.8±3.3	55. 2±3. 4 <sup>a</sup>	58. 9±4. 2ª	55. 4±3. 0 <sup>a</sup>	54. 8±3. 9 <sup>a</sup>
	C 组	33	94. 3±2. 8	53. 3±7. 6 <sup>a</sup>	48. 5±5. 4 <sup>ab</sup>	47. 6±5. 4 <sup>ab</sup>	46. 9±7. 3 <sup>ab</sup>

注:与 T<sub>0</sub> 比较, \*P<0.05; 与 P 组比较, \*P<0.05。

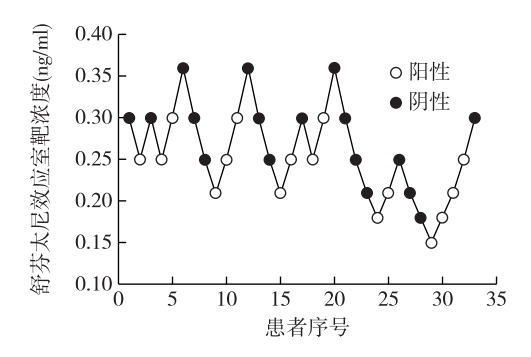


图 1 P 组舒芬太尼抑制气管插管反应的序贯图

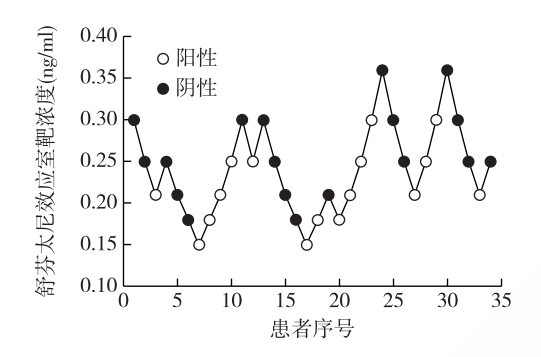


图 2 C 组舒芬太尼抑制气管插管反应的序贯图

的方式以统一用药途径,便于比较。麻醉诱导后两组各 1 例低血压,予以剔除。丙泊酚诱导剂量与诱导后低血压有相关性<sup>[14]</sup>。本研究中丙泊酚的剂量尚小,符合美国 FDA 推荐的老年患者诱导剂量范围<sup>[14]</sup>。两组在麻醉诱导后均能较快达到适宜的镇静深度,插管后 BIS 值无明显波动,环泊酚组 BIS 值低于丙泊酚组,这与环泊酚的强效镇静有关。

药物半数有效量反映药物作用强度的大小,测 定这一剂量对临床用药提供一定的指导作用。序 贯法已广泛应用于测定药物的半数有效量[8]。本 研究采用 Dixon 序贯法测定,设置等比药物浓度梯 度为1:1.2,避免设置过大时导致结果误差较大, 或设置过小时所需样本量增加的问题。因交叉点 大于6个时对结果的影响很小[15],本研究取7个交 叉点终止试验。既往有多项有关复合丙泊酚麻醉 诱导时TCI舒芬太尼的半数有效浓度的研 究[7,16-17],年龄、复合用药情况以及插管时的刺激强 度均可影响研究结果。复合利多卡因、右美托咪 定、咪达唑仑等进行麻醉诱导能加强抑制气管插管 反应。年龄可影响阿片类药物的药代动力学和药 效动力学,而药效动力学差异是老年患者需要量降 低的主要原因[18]。另外气管导管置入时难易程度 亦会影响应激反应。本研究中气管插管使用可视 喉镜,且气管导管表面涂抹润滑凝胶,可在一定程 度上减轻咽喉和气管内感受器受机械刺激所致的 心血管反应。

老年人高血压较多,经有效治疗后麻醉诱导期 血流动力学波动与血压正常患者无明显差异[19],本 研究将正规治疗的高血压患者也纳入其中,因而入 室后基础血压略高。老年患者血管弹性差,麻醉诱 导后体循环阻力下降,血压下降。本研究中在患者 入室后开放静脉通路并补液,在麻醉诱导前适当扩 容,避免诱导后循环抑制导致血压大幅度的下降。 插管引起的应激反应在气管导管置入后 30~45 s 最 强<sup>[20]</sup>,持续约3~5 min。老年患者气管插管的心血 管反应主要表现为收缩压升高[21],本研究将气管插 管阳性反应定义为插管后 2 min 内收缩压或心率超 过基础血压的 20%: 并选择在麻醉诱导前、气管插 管前、气管插管后 1、3 和 5 min 观察患者生命体征 的变化情况。麻醉诱导后患者 HR 无明显波动, SBP 和 DBP 出现一过性下降。这可能是患者禁食 禁饮,舒芬太尼与丙泊酚或环泊酚协同作用[5]或舒 芬太尼的直接作用使动脉扩张导致全身血管阻力 降低有关[22],但采用环泊酚的患者更趋平缓。气管 插管后患者 HR 增快和 SBP 升高,采用丙泊酚的患 者 DBP 在气管插管后亦升高,而环泊酚组无明显变 化。这可能与环泊酚的强效镇静作用有关。5 min 后患者 HR、SBP 和 DBP 均恢复至基础值水平。阳 性患者在追加舒芬太尼、丙泊酚或环泊酚后,均能 缓解插管后应激反应。

本研究尚存在不足之处,比如舒芬太尼在不同性别及不同年龄段患者中的用量是有差别的<sup>[23]</sup>,本研究未细化对不同性别及不同年龄段的患者进行研究。

综上所述,麻醉诱导复合两泊酚 1.5 mg/kg 时 舒芬太尼抑制老年患者气管插管心血管反应的  $Ce_{50}$  为 0.253 ng/ml(95% CI 0.215~0.297 ng/ml),复合 环泊酚 <math>0.30 mg/kg 时舒芬太尼抑制老年患者气管 插管心血管反应的  $Ce_{50}$  为 0.241 ng/ml(95% CI 0.209~0.279 ng/ml)

#### 参考文献

- [1] Zou Y, Kong G, Wei L, et al. The effect of intravenous lidocaine on hemodynamic response to endotracheal intubation during sufentanil-based induction of anaesthesia. Anaesthesiol Intensive Ther, 2020, 52(4): 287-291.
- [2] Weber F, Prasser C. Investigating propofol-sufentanil interaction using clinical endpoints and processed electroencephalography: a prospective randomized controlled trial. Minerva Anestesiol,

- 2019, 85(3): 271-278.
- [3] Xu Q, Wu J, Shan W, et al. Effects of remimazolam combined with sufentanil on hemodynamics during anesthetic induction in elderly patients with mild hypertension undergoing orthopedic surgery of the lower limbs; a randomized controlled trial. BMC Anesthesiol, 2023, 23(1); 311.
- [4] Wang X, Wang X, Liu J, et al. Effects of ciprofol for the induction of general anesthesia in patients scheduled for elective surgery compared to propofol: a phase 3, multicenter, randomized, double-blind, comparative study. Eur Rev Med Pharmacol Sci, 2022, 26(5): 1607-1617.
- [5] Ding YY, Long YQ, Yang HT, et al. Efficacy and safety of ciprofol for general anaesthesia induction in elderly patients undergoing major noncardiac surgery: a randomised controlled pilot trial. Eur J Anaesthesiol, 2022, 39(12): 960-963.
- [6] Duan G, Lan H, Shan W, et al. Clinical effect of different doses of ciprofol for induction of general anesthesia in elderly patients: a randomized, controlled trial. Pharmacol Res Perspect, 2023, 11(2): e01066.
- [7] 钱晓岚,张卫,阚全程. 丙泊酚麻醉下舒芬太尼抑制气管插管反应的半数有效浓度. 临床麻醉学杂志, 2010, 26(4): 287-288.
- [8] Dixon WJ. Staircase bioassay: the up-and-down method. Neurosci Biobehav Rev., 1991, 15(1): 47-50.
- [9] Short TG, Campbell D, Egan TD. Increasing the utility of target-controlled infusions: one model to rule them all. Br J Anaesth, 2018, 120(5): 887-890.
- [10] Poterman M, Kalmar AF, Buisman PL, et al. Improved haemodynamic stability and cerebral tissue oxygenation after induction of anaesthesia with sufentanil compared to remifentanil; a randomised controlled trial. BMC Anesthesiol, 2020, 20(1); 258.
- [11] Yang Y, Teng X, Zhu J. Sufentanil blunts the myocardial stress induced by tracheal intubation in older adult patients with coronary heart disease better than equipotent fentanyl. Ann Palliat Med, 2020, 9(6): 3909-3914.
- [12] 徐明,王艺钢,宋丹丹,等.环泊酚和丙泊酚在老年患者纤维结肠镜治疗中镇静效果比较.临床麻醉学杂志,2023,39

- (7):705-708.
- [13] 中华医学会麻醉学分会老年人麻醉与围术期管理学会. 中国 老年患者围手术期麻醉管理指导意见(2020 版). 中华医学 杂志, 2020, 100(33): 2565-2578.
- [ 14 ] Schonberger RB, Dai F, Michel G, et al. Association of propofol induction dose and severe pre-incision hypotension among surgical patients over age 65. J Clin Anesth, 2022, 80: 110846.
- [15] Paul M, Fisher DM. Are estimates of MAC reliable. Anesthesiology, 2001, 95(6): 1362-1370.
- [16] 刘鉴,杨扬,吴论,等.复合小剂量右美托咪定时舒芬太尼 抑制老年患者气管插管的半数有效浓度.广东医学,2020,41(3):278-281.
- [ 17] Jia D, Yuan X, He C, et al. Intravenous lidocaine decreased the median effective concentration of sufentanil for tracheal intubation in obese patients. Drug Des Devel Ther, 2023, 17: 2431-2439.
- [18] Lim BG, Lee IO. Anesthetic management of geriatric patients. Korean J Anesthesiol, 2020, 73(1): 8-29.
- [19] da Silva Neto WV, Azevedo GS, Coelho FO, et al. Evaluation of hemodynamic variations during anesthetic induction in treated hypertensive patients. Rev Bras Anestesiol, 2008, 58 (4): 330-341.
- [20] Adachi YU, Takamatsu I, Watanabe K, et al. Evaluation of the cardiovascular responses to fiberoptic orotracheal intubation with television monitoring: comparison with conventional direct laryngoscopy. J Clin Anesth, 2000, 12(7): 503-508.
- [21] Ketata S, Fourati M, Derbel R, et al. McGrath versus Macintosh laryngoscopes on hemodynamic response to intubation in elderly patients: a randomized clinical trial. Pan Afr Med J, 2023, 45: 108.
- [22] Saugel B, Bebert EJ, Briesenick L, et al. Mechanisms contributing to hypotension after anesthetic induction with sufentanil, propofol, and rocuronium: a prospective observational study. J Clin Monit Comput, 2022, 36(2): 341-347.
- [23] 吉晓丽,李小静,钱涛,等.性别因素对复合右美托咪定时 舒芬太尼抑制患者气管插管反应的影响.中华麻醉学杂志, 2020,40(8):977-979.

(收稿日期:2024-01-20)